

การศึกษาสมรรถนะของเจ็ทปั๊มสำหรับผสมของเหลวต่างชนิด

Study on Performance characteristics of Jet pumps for Different Liquids Mixing

ปฏิภาน เอกนนท์วนัน¹ และ จำลอง ปราบแก้ว²

^{1,2} ภาควิชาวิศวกรรมเครื่องกล คณะวิศวกรรมศาสตร์ สถาบันเทคโนโลยีพระจอมเกล้าเจ้าคุณทหารลาดกระบัง

ถ.ฉลองกรุง เขตลาดกระบัง กรุงเทพมหานคร 10520

e-mail: ektanawat7@hotmail.com, โทร. 0-2329-8350, โทรสาร. 0-2329-8352

บทคัดย่อ

เจ็ทปั๊มมีส่วนประกอบสำคัญคือ หัวฉีด, ท่อดูด, ท่อผสม และ ท่อลดความเร็ว โดยไม่มีขึ้นส่วนใดเคลื่อนที่หรือหมุน หลักการทำงานของเจ็ทปั๊มจะอาศัยหลักจลศาสตร์ของของไหล คือ การให้ของไหลที่มีความดันสูงไหลผ่านหัวฉีดด้วยความเร็วสูง ทำให้ความดันรอบๆ ปลายหัวฉีดตรงทางเข้าห้องผสมต่ำกว่าความดันบรรยากาศ ส่งผลให้ของไหลที่อยู่ในช่องทางดูดถูกดูดเข้ามาในห้องผสมแล้วเกิดโมเมนตัมเคลื่อนที่ด้วยความเร็วเฉลี่ยระหว่างของไหลจากหัวฉีดกับของไหลจากท่อดูด โดยของไหลทั้งสองจะผสมกันและไหลผ่านท่อลดความเร็วแล้วไหลออกไปทางท่อส่ง มีการนำเอาเจ็ทปั๊มมาประยุกต์ใช้งานทางวิศวกรรมหลายชนิด โครงการนี้ได้ศึกษาถึงประสิทธิภาพของเจ็ทปั๊มเพื่อจะนำไปประยุกต์ใช้ในการผสมของเหลวต่างชนิดกัน โดยการวิเคราะห์ความสามารถและเขียนโปรแกรมคำนวณหาค่าสมรรถนะของเจ็ทปั๊ม โดยการศึกษาผลของการเปลี่ยนแปลงขนาดวัดผ่านศูนย์กลางของหัวฉีดต่อขนาดต่อวัดผ่านศูนย์กลางของท่อผสม (d/D) = 0.4, 0.5 และ 0.6 โดยให้ของไหลจากหัวฉีดเป็นน้ำซึ่งมีค่าน้ำหนักจำเพาะ = 9810 นิวตันต่อลูกบากระเมตร และของเหลวจากท่อดูดเป็นน้ำมันที่มีน้ำหนักจำเพาะ = 7926 นิวตันต่อลูกบากระเมตร จากผลการคำนวณจะได้ค่าประสิทธิภาพสูงที่สุดที่ขนาดวัดผ่านศูนย์กลางของหัวฉีดต่อขนาดต่อวัดผ่านศูนย์กลางของท่อดูด (d/D) = 0.6 และเมื่อนำผลการคำนวณไปเปรียบเทียบกับผลการทดลองจะเห็นว่าสอดคล้องกัน

คำหลัก: เจ็ทปั๊ม, การผสมของเหลวต่างชนิด, สมรรถนะ

Abstract

Jet pump participate assemble important be Nozzle, Suction tube, Mixing tube and Diffuser tube the speed by have no which component moves or turn. The principle works of Jet pump will live science pillar of fluid be fluid give that have high pressure flows through the Nozzle with high speed make the pressure round head end Nozzle straight room entrance mixes to lower atmosphere pressure cause location fluid in the way sucks touch suck come in a room has mixed then is born momentum to move with the speed shares between fluid from the Nozzle with fluid from Suction tube. By bilateral fluid will mix and flow through a Diffuser tube go out tube way sends Jet pump want to every the components has losing energy flowing least. This project has studied to arrive at the efficiency will of Jet pump in order to induce apply in mixing liquid differs a kind. By the analysis seeks

the algebraic equation and write a program calculate to seek capacity value of Jet pump for study of something the size changes the junction in the Nozzle to build the size builds a changes the junction of a Mixing tube at $(d/D) = 0.4, 0.5,$ and 0.6 by give fluid from the Nozzle which be valuable the weight particularly $= 9810 \text{ N/m}^3$ be liquid drives from the Nozzle and liquid from a Suction tube it that weigh particularly $= 7926 \text{ N/m}^3$ From the calculation will have efficiency High value most at temple size changes the junction in the Nozzle to build the size builds a temple changes the junction of a Suction tube $(d/D) = 0.6$

Keywords: Jet pump, liquids mixing, Performance

1. บทนำ

เจ็ทปั๊มถูกนำมาใช้งานอย่างหลากหลายเพื่อวัตถุประสงค์ที่แตกต่างกัน เช่นการนำเจ็ทปั๊มมาใช้งานสูบของเหลวที่มีสารแขวนลอย การใช้เจ็ทปั๊มดูดอากาศเพื่อการบำบัดน้ำเสีย หรือใช้เจ็ทปั๊มในการเพิ่มความดันด้านดูดของปั๊มแบบแรงเหวี่ยง เป็นต้น ได้มีผู้ศึกษาเกี่ยวกับเจ็ทปั๊มหลายรายอย่างเช่น Gosline and O'Brien [1] ได้ศึกษาทฤษฎีการออกแบบเจ็ทปั๊มและพัฒนาทฤษฎีการคำนวณประสิทธิภาพของเจ็ทปั๊มน้ำโดยอาศัยหลักการสมการพื้นฐานของกลศาสตร์ของไฮล์ Mueller [2] ได้ศึกษาการหาสัมประสิทธิ์ความเร็วของหัวฉีดทางด้านจ่าย และด้านดูดโดยพบว่าสัมประสิทธิ์ความเร็วการไหลออกจากหัวฉีดที่ให้ค่าประสิทธิภาพสูงสุดเท่ากับ 0.95 ระยะห่างของปลายหัวฉีดถึงปากทางเข้าห้องผสมที่ดีที่สุด มีค่าเท่ากับขนาดดัชนีค่าคุณภาพของหัวฉีดมีขนาด 7.15 เท่าของเส้นผ่านศูนย์กลางของห้องผสมและมุมองศาทางด้านจ่ายหลังจากห้องผสมคือ 5 องศา นอกจากนี้ Vyas and Subir Kar [3] ได้ทำการทดลองหาความสัมพันธ์ของເheads ของการจ่าย อัตราการดูด อัตราส่วนความเร็ว ลักษณะของหัวฉีดและอัตราส่วนความเร็วของ การไหลในท่อคู่กับอัตราการไหลจากหัวฉีด และยังได้กล่าวถึงข้อต้องการทดสอบหาประสิทธิภาพ มาตรฐาน การดูดและเครื่องมือที่จะใช้หาคุณสมบัติของระบบเจ็ทปั๊ม อีกด้วย สำหรับบทความนี้เป็นการนำเสนอข้อตอนการวิเคราะห์สมการที่ใช้ในการคำนวณประสิทธิภาพของเจ็ทปั๊มสำหรับการผสานของเหลวต่างชนิดที่มีคุณสมบัติ

แตกต่างกัน โดยอาศัยหลักการสมการการไหลพื้นฐาน และได้เขียนโปรแกรมแม่ดแลปสำหรับคำนวณหาค่าสมรรถนะของเจ็ทปั๊มสำหรับผสานของเหลวต่างชนิด

2. การวิเคราะห์สมการคำนวณประสิทธิภาพเจ็ทปั๊ม

การวิเคราะห์เพื่อการคำนวณประสิทธิภาพของเจ็ทปั๊มจะใช้หลักการสมการโมเมนตัม สมการการไหลต่อเนื่อง และสมการพลังงาน และมีเงื่อนไขในการใช้ทฤษฎีต่างๆ คือ ของไฮล์ทั้งสองไม่สามารถอัดตัวได้ ความเร็วเฉลี่ยแต่ละพื้นที่เท่ากันตลอดทั้งหน้าตัด อุณหภูมิทุกที่เท่ากันตลอด ไม่มีการสูญเสียความร้อนออกนอกระบบ ความหนาของหัวฉีดเท่ากับศูนย์ ระยะระหว่างปลายหัวฉีดกับทางเข้าห้องผสมมีค่าเท่ากับศูนย์ การกระจายความดันคงที่ตลอดภายในห้องผสม ไม่มีแรงภายนอกมากระทำ ของไฮล์เป็นสารบริสุทธิ์ไม่มีตัวกอนหรือสิ่งเจือปน ประสิทธิภาพของเจ็ทปั๊มนั้นจะขึ้นกับปัจจัยในหลายๆ อย่างและหลายๆ ตัวแปร บทความนี้จะทำการศึกษาตัวแปรที่ทำให้มีผลต่อประสิทธิภาพคือ อัตราการไหล อัตราส่วนความดัน อัตราส่วนพื้นที่ของหัวฉีดและทางเข้าห้องผสม จึงทำให้ได้ประสิทธิภาพอยู่ในรูปของ อัตราการไหล และอัตราส่วนความดัน ความหมายของสัญลักษณ์ (Nomenclature) ที่ใช้มีดังนี้

A : พื้นที่หน้าตัด (m^2)

B : อัตราส่วนพื้นที่หน้าตัดระหว่างหัวฉีดและห้องผสม

C_d: ความเข้มข้นโดยปริมาตร (Concentration by volume)

C_{md} : ความเข้มข้นโดยมวล (Concentration by volume)

F : แรง (N)

H : Total head (m)

H_e : Effective head (m)

H_d : Discharge head (m)

H_p : Drive head (m)

H_s : Suction head (m)

h : Loss of head

K : Loss of factor

M : อัตราการไหลโดยมวล (kg/s)

P : ความดัน (N/m^2)

Q : อัตราการไหลโดยปริมาตร (m^3/s)

v : ความเร็ว (m/s)

W : อัตราการไหลโดยน้ำหนัก (mg/s)

α : สัมประสิทธิ์ของความเร็ว (Coefficient of velocity)

γ : น้ำหนักจำเพาะ (Specific weight)

ϵ : ค่าความถ่วงจำเพาะ (Specific gravity)

μ : ค่าสัมประสิทธิ์การลื่นไถล (Slip factor)

Φ : Flow rate ratio

η : ประสิทธิภาพ (Efficiency)

สัญลักษณ์ตัวห้อย (Subscript)

$-d$: ด้านจ่าย (Diffuser)

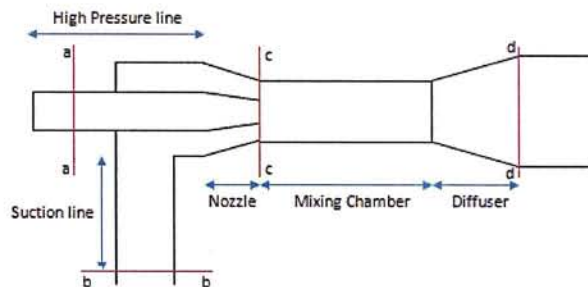
$-j$: หัวฉีด (Nozzle)

$-mc$: ห้องผสม (Mixing chamber)

$-s$: ด้านดูด (Suction side)

สมการประสิทธิภาพของปั๊มน้ำแบบหัวฉีด

$$\eta = \frac{\gamma_s Q_s H}{\gamma_f Q_j H_e} = \Phi \frac{H}{H_e} = \Phi \frac{H_d - H_s}{H_p - H_d} \quad (1)$$



รูปที่ 1 แสดงหน้าตัดต่างๆ ของเจ็ทปั๊ม

จากรูปที่ 1. แสดงพื้นที่หน้าตัดที่ใช้ในการวิเคราะห์ หาประสิทธิภาพของเจ็ทปั๊ม โดยจะใช้ทฤษฎีโนเมนตัม ระหว่างหน้าตัด c-c และ d-d ทฤษฎีสมดุลพลังงาน ระหว่างหน้าตัด a-a และ c-c ระหว่างหน้าตัด b-b และ c-c, และระหว่างหน้าตัด d-d และ e-e ใช้ทฤษฎีการ ไหลต่อเนื่องในการเชื่อมโยงสมการและตัวแปรต่างๆเข้า ด้วยกัน และใช้ทฤษฎีเบอร์นูลี ในการหาเขตของปั๊ม เขตของหอดูด เขตของห่องสูบ วิธีการหาสมการเริ่มต้น ด้วยสมการต่อเนื่อง

วิธีการหาสมการเริ่มต้นด้วยสมการต่อเนื่อง

$$Q_d = Q_j + Q_s \quad (2)$$

$$A_d = A_j + A_s \quad (3)$$

$$Q_s = \mu_s v_s A_s \quad (4)$$

$$W_d = W_j + W_s \quad (5)$$

$$\gamma_d Q_d = \gamma_j Q_j + \gamma_s Q_s \quad (6)$$

$$W_s = \gamma_s \mu_s v_s A_s \quad (7)$$

$$\Phi = \frac{W_s}{W_j} = \frac{Q_s \gamma_s}{Q_j \gamma_j} \quad (8)$$

$$\gamma_d = \frac{W_d}{Q_d} = \frac{W_s + W_j}{Q_s + Q_j} = \frac{Q_s \gamma_s + Q_j \gamma_j}{Q_s + Q_j} = \frac{(\Phi + 1) \gamma_j \gamma_s}{\Phi \gamma_j + \gamma_s} \quad (9)$$

$$C_d = \frac{Q_s}{Q_s + Q_j} = \frac{\Phi \gamma_j}{\Phi \gamma_j + \gamma_s} \quad (10)$$

$$V_s = \frac{Q_s}{\mu_s A_s} = \frac{\Phi Q_j \gamma_j}{\mu_s A_s \gamma_s} = \frac{\Phi v_j A_j \gamma_j}{\mu_s A_s \gamma_s} \quad (11)$$

$$Q_d = v_d A_d (1 - C_d) + \mu_d v_d A_d C_d \\ = v_d A_d [\mu_d C_d + (1 - C_d)] \quad (12)$$

$$v_d = \frac{Q_d}{A_d [\mu_d C_d + (1 - C_d)]} = \frac{\Phi v_j \left(1 + \Phi \frac{\gamma_j}{\gamma_s}\right)}{[\mu_d C_d + (1 - C_d)]} \quad (13)$$

$$B = \frac{A_j}{A_d} \quad (14)$$

$$(1 - B) = \frac{A_s}{A_d} \quad (15)$$

$$\left(\frac{B}{1 - B} \right) = \frac{A_j}{A_s} \quad (16)$$

พิจารณาสมการโมเมนตัมระหว่างพื้นที่หน้าตัด C-C และ d-d

$$\begin{aligned} \sum F &= \sum F_{bx} + \sum F_{sx} \\ &= \frac{\partial}{\partial t} \int_{cv} \rho v_x dV + \int_{cs} \rho v_x \bar{v} dA \end{aligned}$$

สมการโมเมนตัมที่หน้าตัด C-C

$$F_{mc} = \frac{v_j^2}{2g} \gamma_j A_j \left(2 + \frac{2\Phi^2 \gamma_j A_j}{\mu_s \gamma_s A_s} \right) v_s \quad (17)$$

สมการโมเมนตัมที่หน้าตัด d-d

$$F_{md} = \frac{v_j^2}{2g} \gamma_j A_j \frac{B(1 + \Phi \gamma_j / \gamma_s)}{[\mu_d C_d + (1 - C_d)]} (2 + 2\mu_d \Phi) \quad (18)$$

สมการโมเมนตัมการสูญเสียแรงเสียดทานภายในผิวของห้องผสม ระหว่างหน้าตัด C-C ถึง d-d

$$F_t = \frac{v_j^2}{2g} \frac{B^2 (1 + \Phi \gamma_j / \gamma_s)^2}{[\mu_d C_d + (1 - C_d)]^2} K_{mc} A_d \gamma_d \quad (19)$$

สมการโมเมนตัมการหาแรงที่เกิดขึ้นเนื่องจากความดันที่เปลี่ยนแปลง

$$\begin{aligned} F_p &= \int_0^r (P_d - P_c) 2\pi r dr \\ &= \int_0^r P_d 2\pi r dr - \int_0^r P_c 2\pi r dr \end{aligned}$$

จากกฎอนุรักษ์โมเมนตัม

$$\begin{aligned} \sum F_c &= \sum F_d \\ F_p &= \frac{v_j^2}{2g} \left[B \left(2 + \frac{2\Phi^2 \gamma_j B}{\mu_s \gamma_s (1-B)} \right) - \frac{B^2 (1 + \Phi \gamma_j / \gamma_s)^2}{[\mu_d C_d + (1 - C_d)]^2} \right. \\ &\quad \times (2 + 2\mu_d \Phi) - \left. \frac{B^2 (1 + \Phi \gamma_j / \gamma_s)^2}{[\mu_d C_d + (1 - C_d)]^2} K_{mc} \frac{\gamma_d}{\gamma_j} \right] \quad (20) \end{aligned}$$

พิจารณาสมการเบอร์นูลีในการหาเขตปืม

$$H_p = \int_0^r \frac{P_e 2\pi r}{A_c \gamma_j} dr + \frac{v_j^2}{2g} (\alpha_j + k_j) \quad (21)$$

พิจารณาจากสมการ เบอร์นูลีในการหาเขตหอดุด

$$H_s = \int_0^r \frac{P_d 2\pi r}{A_c \gamma_j} dr + \frac{v_j^2}{2g} \frac{\Phi^2 B^2}{(1-B)^2} \left(\frac{\gamma_j}{\gamma_s} \right)^2 \frac{\epsilon_s}{\mu_s^2} (\alpha_s \mu_s^2 + K_s) \quad (22)$$

$$\begin{aligned} h_s &= K_s \frac{v_s^2}{2g} \\ \epsilon_s &= \frac{\gamma_s}{\gamma_j} \end{aligned}$$

พิจารณาจากสมการเบอร์นูลีในการหาเขตห่อส่ง

$$\begin{aligned} H_d &= \int_0^r \frac{P_d 2\pi r}{A_d \gamma_j} dr - \frac{v_j^2}{2g} \frac{\epsilon_d B^2 (1 + \Phi \gamma_j / \gamma_s)^2}{[\mu_d C_d + (1 - C_d)]^2} \\ &\quad \times [K_{dif} - \alpha_d (1 - C_{md} + C_{md} \mu_d^2)] \quad (23) \end{aligned}$$

$$\begin{aligned} \epsilon_d &= \frac{\gamma_d}{\gamma_j} \\ C_{dm} &= \frac{\Phi \gamma_j \gamma_s}{\Phi \gamma_j \gamma_d + \gamma_s \gamma_d} \quad (24) \end{aligned}$$

สมการประสิทธิภาพเมื่อคิดเป็นเปอร์เซ็นต์คือ

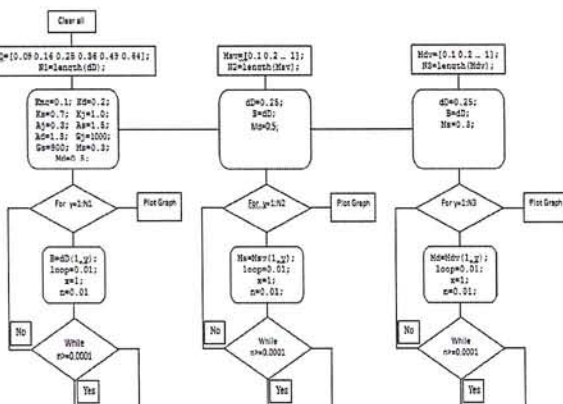
$$\eta = \frac{\gamma_s Q_s H}{\gamma_j Q_j H_s} \times 100\% = \Phi \frac{H}{H_s} \times 100\% = \Phi \frac{H_d - H_s}{H_p - H_d} \times 100\% \quad (25)$$

รูปที่ 2 แสดงเขตที่ของระบบเจ็ทปืม

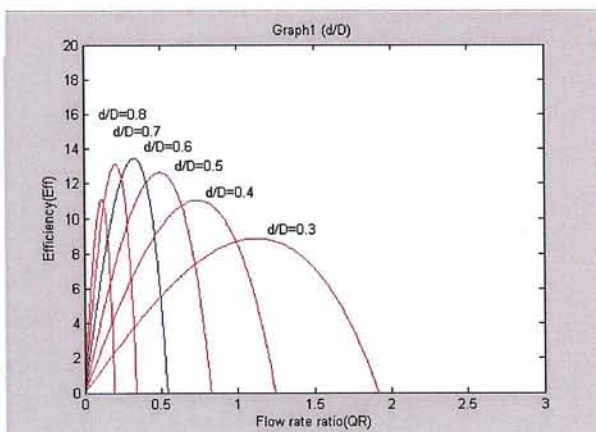
3. การคำนวณและผลการคำนวณ

จากการคำนวณด้วยโปรแกรมแม็คแล็บดังรูปที่ 4 แสดงความสัมพันธ์ระหว่างประสิทธิภาพเทียบกับอัตราส่วนการไหล โดยการเปลี่ยนแปลงขนาดหัวฉีดพบว่าที่สัดส่วนของหัวฉีดกับขนาดหัวฉีดที่ 0.6 ทำให้เจ็ทปืมมีประสิทธิภาพสูงสุดที่ประมาณ 15 % เมื่อพิจารณาผลการเปรียบค่าประสิทธิภาพเทียบอัตราส่วนของยอดดังแสดงในรูปที่ 4 กับพบร่วมกับที่สัดส่วนของหัวฉีดกับห้องผสม (d/D) เท่ากับ 0.6 จะให้ค่าประสิทธิภาพสูงสุดที่ประมาณ 14 % ส่วนรูปที่ 5 ความสัมพันธ์ระหว่างอัตราส่วนการไหลกับอัตราส่วน

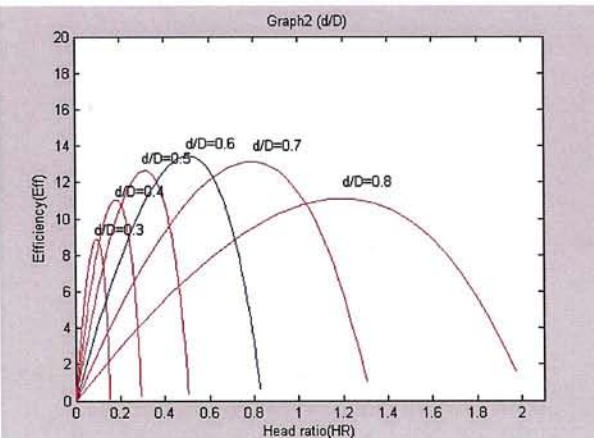
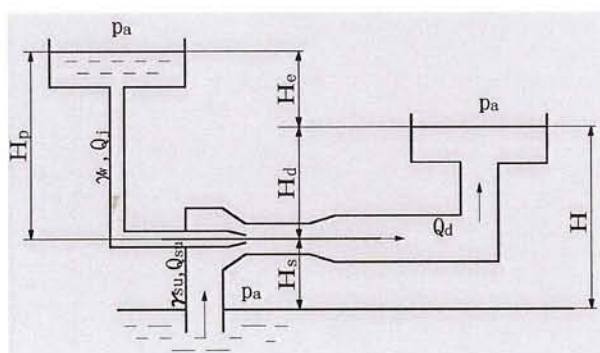
เขต จะพบว่าที่อัตราส่วนขนาดของหัวฉีดกับห้องผสมมีค่า น้อยจะทำให้อัตราส่วนการไหลมีค่ามากและอัตราส่วนเขต ก็จะน้อยลง และเมื่อค่า (D/d) มีค่ามากขึ้นค่า อัตราส่วนการไหลจะลดลงโดยค่าสัดของเขตมีค่ามากขึ้น



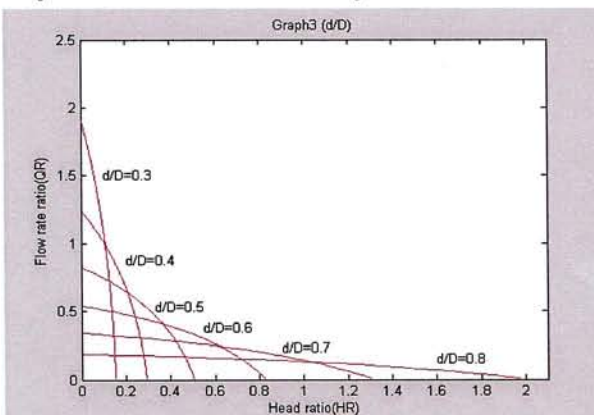
รูปที่ 3 แสดงการขั้นตอนการทำงานของโปรแกรม



รูปที่ 4 แสดงความสัมพันธ์ของประสิทธิภาพกับอัตราส่วน การไหลโดยเปรียบเทียบอัตราส่วนของวัดผ่านศูนย์กลาง ของหัวฉีดกับวัดผ่านศูนย์กลางของท่อผสม



รูปที่ 5 แสดงความสัมพันธ์ของประสิทธิภาพและ อัตราส่วนของเขตโดยเปรียบเทียบอัตราส่วนของวัดผ่าน ศูนย์กลางของหัวฉีดกับวัดผ่านศูนย์กลางของท่อผสม



รูปที่ 6 แสดงความสัมพันธ์ของอัตราส่วนการไหลกับ อัตราส่วนของเขตโดยเปรียบเทียบอัตราส่วนของวัดผ่าน ศูนย์กลางของหัวฉีดกับวัดผ่านศูนย์กลางของท่อผสม

4. การทดลองและผลการทดลอง

ประกอบชุดทดลองของและอุปกรณ์การทดลองดังรูปที่ 6 แล้วทำการทดลองตามขั้นตอนดังนี้

4.1 เปิดสวิตซ์ให้มีหยดอยู่ชั่วโมงทำงานและเปิดวาล์ว 1 และ ปิดวาล์ว 2

4.2 เมื่อปั๊มเริ่มทำงานให้การเปิดวาล์ว 2 ให้เต็มที่ แล้วปิดวาล์ว 1 เปิดวาล์ว 4 และเปิดวาล์ว 3

4.3 แต่ต้องเปิดให้วาล์ว 4 ได้ความดัน (P_d) ตามที่ ต้องการ ให้ได้ P_d มา 5 ค่า

4.4 P_d แต่ละค่าจะต้องค้างไว้ 3 วินาทีแล้วปิด วาล์ว 3 เพื่อดูว่าระดับน้ำมันใน 3 วินาทีนั้นของท่อทาง คูลล์ดลงไปขนาดไหน เอาค่าที่ปริมาตรหายไปน้ำหนารด้วย

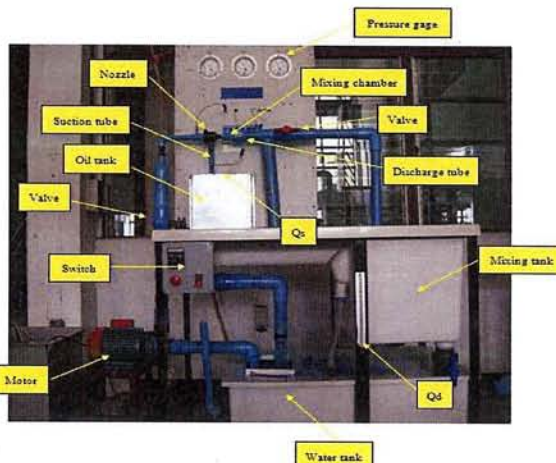
3 วินาที จะได้ค่า อัตราการไหลที่ห่อคุด (Q_s) เปิดวาล์ว 3 ต่อไปเมื่อต้องการ P_d ที่ค่าใหม่

4.5 P_d แต่ละค่าจะต้องห้ามไว้ 3 วินาทีแล้วปิด วาล์ว 3 เพื่อดูว่าระดับน้ำมันพื้นกับน้ำ (ในถังผสม) ใน 3 วินาทีนั้นของห้องทางจ่ายเพิ่มไปขนาดไหน เอาค่าที่ ปริมาตรเพิ่มน้ำหารด้วย 3 วินาทีจะได้ค่าอัตราการไหลที่ห่อคุด (Q_d) เปิดวาล์ว 3 ต่อไปเมื่อต้องการ P_d ที่ค่าใหม่ ในหัวฉีดแต่ละขนาดจะวัด P_d , Q_s และ Q_d ได้ 5 ค่า

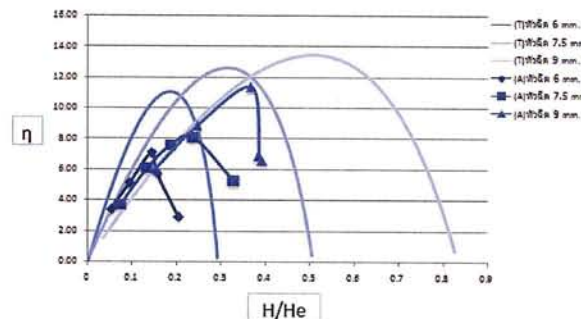
4.6 หลังจากเสร็จจากขั้นตอนที่ 4.5 แล้วให้ทำการเปลี่ยนขนาดของหัวฉีดแล้วทำการทดลองตั้งแต่ข้อ 4.1-4.5 ใหม่โดยการเปลี่ยนขนาดหัวฉีดจนครบทั้ง 3 ขนาด

เงื่อนไขในการทดลองในการเปลี่ยนขนาดของหัวฉีดแต่ละครั้งต้องให้ทางด้านส่วนปลายของหัวฉีดอยู่ห่างจากส่วนของทางเข้าห้องผสมเป็นระยะที่คงที่ในการทดสอบทุกครั้งต้องสำรวจอยริ้วของอุปกรณ์ทางด้านดูดของปั๊มหอยโข่งทุกครั้งเพื่อไม่ให้เกิดฟองอากาศไหลเข้ามาในส่วนของหัวฉีด

ชุดทดลองและอุปกรณ์การทดลองดังแสดงในรูปที่ 6 การทดลองจะทำการเปลี่ยนขนาดวัดผ่านศูนย์กลางรูของหัวฉีดต่อขนาดวัดผ่านศูนย์กลางของห้องผสม (d/D) ซึ่งจะได้ผลการทดลองเปรียบเทียบกับผลการคำนวณดังแสดงในรูปที่ 7-9

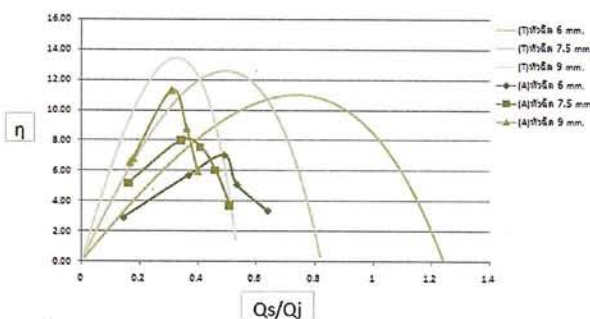


รูปที่ 6 แสดงชุดทดสอบและตำแหน่งต่างๆ ของอุปกรณ์



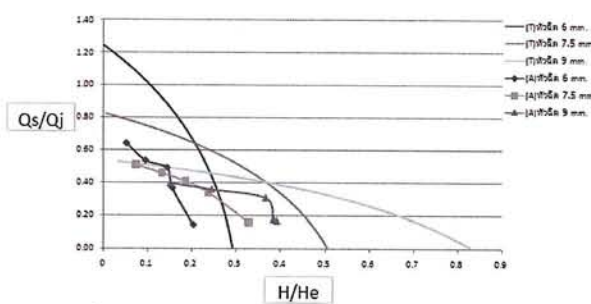
รูปที่ 7 แสดงความสัมพันธ์ของประสิทธิภาพและอัตราส่วนของเขตโดยเปรียบเทียบอัตราส่วนของวัดผ่าน

ศูนย์กลางของหัวฉีดกับวัดผ่านศูนย์กลางของห้องผสม รูปที่ 7 แสดงความสัมพันธ์ระหว่างประสิทธิภาพกับอัตราส่วนของเขตได้กับเขตสูญเสีย (H/H_e) โดยเปรียบเทียบระหว่างผลการทดลองกับผลการคำนวณ จะเห็นได้ว่าประสิทธิภาพสูงสุดที่ได้จากการทดลองเท่ากับ 11.3 เปอร์เซ็นต์ ที่อัตราส่วนของเขตได้กับเขตสูญเสียเท่ากับ 0.37 ในอัตราส่วนของวัดผ่านศูนย์กลางของหัวฉีด กับวัดผ่านศูนย์กลางของห้องผสมเท่ากับ 0.6 และเมื่อลดขนาดของอัตราส่วนวัดผ่านศูนย์กลางขึ้นเป็น 0.5 และ 0.4 จะได้ประสิทธิภาพลดลงในอัตราส่วนของเขตได้กับเขตเสียที่ลดลงโดยอัตราส่วนวัดผ่านศูนย์กลางเท่ากับ 0.4 จะมีประสิทธิภาพต่ำสุดเท่ากับ 7 เปอร์เซ็นต์ อัตราส่วนของเขตได้กับเขตเสียที่ 0.15 ลักษณะกราฟเป็นเส้นโค้งทั้ง 3 ขนาดสอดคล้องกับทฤษฎี



รูปที่ 8 แสดงความสัมพันธ์ของประสิทธิภาพกับอัตราส่วนการไหลโดยเปรียบเทียบอัตราส่วนของวัดผ่านศูนย์กลางของหัวฉีดกับวัดผ่านศูนย์กลางของห้องผสม

รูปที่ 8 แสดงความสัมพันธ์ระหว่างประสิทธิภาพกับอัตราส่วนของอัตราการไหลของเหลวในท่อคู่กับของเหลวที่หัวฉีด (Q_s/Q_j) โดยเปรียบเทียบผลที่ได้จากการทดลองกับผลการคำนวณ แสดงให้เห็นได้ว่าประสิทธิภาพมากที่สุดเท่ากับ 11.3 เปอร์เซ็นต์ ที่อัตราส่วนของอัตราการไหลเท่ากับ 0.29 ในอัตราส่วนของวัดผ่านศูนย์กลางของหัวฉีดกับวัดผ่านศูนย์กลางของท่อผสมเท่ากับ 0.6 และเมื่อลดขนาดของอัตราส่วนวัดผ่านศูนย์กลางขึ้นเป็น 0.5 และ 0.4 จะได้ประสิทธิภาพลดลงในอัตราส่วนของอัตราการไหลที่เพิ่มขึ้น โดยอัตราส่วนวัดผ่านศูนย์กลางเท่ากับ 0.4 จะมีประสิทธิภาพต่ำสุดเท่ากับ 7 เปอร์เซ็นต์ อัตราส่วนของอัตราการไหลอยู่ที่ 0.47 ลักษณะกราฟเป็นเส้นโค้งทั้ง 3 ขนาดสอดคล้องกับทฤษฎี



รูปที่ 9 แสดงความสัมพันธ์ของอัตราการไหลกับอัตราส่วนของเขตโดยเปรียบเทียบอัตราส่วนของวัดผ่านศูนย์กลางของหัวฉีดกับวัดผ่านศูนย์กลางของท่อผสม

รูปที่ 9 แสดงความสัมพันธ์ระหว่างอัตราส่วนอัตราการไหลของของไหลที่ท่อคู่กับอัตราการไหลของของไหลที่หัวฉีด ระหว่างการทดลองกับทฤษฎีด้วยอัตราส่วนของเขตได้กับเขตเดียวกันแสดงลักษณะของเส้นกราฟว่า ความสัมพันธ์ทั้งสองตัวแปรจะมีรูปแบบที่แตกต่างกัน ในแต่ละอัตราส่วนวัดผ่านศูนย์กลางโดยอัตราส่วนวัดผ่านศูนย์กลางเท่ากับ 0.4, 0.5 และ 0.6 จะมีค่าอัตราส่วนของอัตราการไหลเพิ่มขึ้นในอัตราส่วนของเขตได้กับเขตเดียวกันแสดงลักษณะกราฟเป็นเส้นโค้งทั้ง 3 ขนาดสอดคล้องกับทฤษฎี

5. สรุปผลการทดลอง

5.1 จากการคำนวณด้วยโปรแกรม Matlab ได้ประสิทธิภาพสูงสุดเท่ากับ 13.8 เปอร์เซ็นต์ ที่อัตราส่วนการไหล (Q_s/Q_j) เท่ากับ 0.37 และอัตราส่วนของเขต (H_e/H) เท่ากับ 0.57 โดยอัตราส่วนของวัดผ่านศูนย์กลางของหัวฉีดกับวัดผ่านศูนย์กลางของท่อผสม (d/D) เท่ากับ 0.6

5.2 ผลการทดลองได้ค่าประสิทธิภาพสูงสุดเท่ากับ 11.3 เปอร์เซ็นต์ ที่อัตราส่วนของอัตราการไหล 0.29 และอัตราส่วนของเขตเท่ากับ 0.37 ที่อัตราส่วนของวัดผ่านศูนย์กลางของหัวฉีดกับวัดผ่านศูนย์กลางของท่อผสมเท่ากับ 0.6 โดยความสัมพันธ์ของอัตราส่วนของอัตราการไหล เมื่อเพิ่มขึ้นจะส่งผลทำให้อัตราส่วนของเขตลดลง ความสัมพันธ์เป็นผกผันกัน

5.3 เมื่อเปรียบเทียบผลการคำนวณกับผลการทดลอง ปรากฏว่ามีแนวโน้มสอดคล้องกัน มีค่าค่าแต่งต่างเท่ากับทฤษฎีเท่ากับ 18 เปอร์เซ็นต์จากการเปรียบเทียบประสิทธิภาพสูงสุดของการคำนวณกับการทดลอง

6. เอกสารอ้างอิง

- [1] J. E. Gosline and M. P. O'Brien, "The Water Jet Pump", University of California Publications in Engineering, Vol. 3, No.3, pp. 167-190, (1934).
- [2] N. H. G. Mueller, "Water Jet Pump", Journal of Hydraulic Division, Vol. 90, No. HY 3, pp. 83-113, (1964).
- [3] B.D Vyas and Subir Kar, "Standardization of Water Jet Pumps", BHRA Fluid Engineering, Symposium on .Jet Pumps and Ejectors, London, pp155-170, 1st November (1972).